

# F6150 Pokročilé numerické metody – zadání úloh

## 1. Rotace galaxie

Rozložení zářivé hmoty v naší galaxii je dle odhadu popsaného v článku M. Weber a W. De Boer, *Astronomy & Astrophysics* **509**, A25 (2010) přibližně vystíženo hustotou

$$\rho(x, y, z) = \rho_b \exp\left(-\frac{x^2 + y^2}{r_b^2}\right) \exp\left(-\frac{z^2}{z_b^2}\right) + \rho_d \exp\left(-\frac{\sqrt{x^2 + y^2}}{r_d}\right) \exp\left(-\frac{|z|}{z_d}\right),$$

přičemž středová výduť je dána parametry  $\rho_b = 15 M_{\odot} \text{ pc}^{-3}$ ,  $r_b = 0.6 \text{ kpc}$ ,  $z_b = 0.37 \text{ kpc}$  a galaktický disk parametry  $\rho_d = 2.7 M_{\odot} \text{ pc}^{-3}$ ,  $r_d = 2.3 \text{ kpc}$ ,  $z_d = 0.32 \text{ kpc}$ . Řešením Poissonovy rovnice pro gravitační potenciál

$$\nabla^2 \varphi = 4\pi G \rho$$

najděte gravitační silové pole působící v galaxii. Za předpokladu, že tvar galaxie je stabilní, určete rychlosť otáčení jednotlivých částí galaxie. Srovnáním se skutečnou rotační křivkou bylo ve zmiňovaném článku odhadnuto rozložení temné hmoty.

Při řešení Poissonovy rovnice použijte diskrétní Fourierovu transformaci a periodické okrajové podmínky. Dlouhovlnnou singularitu je třeba vhodně ošetřit.

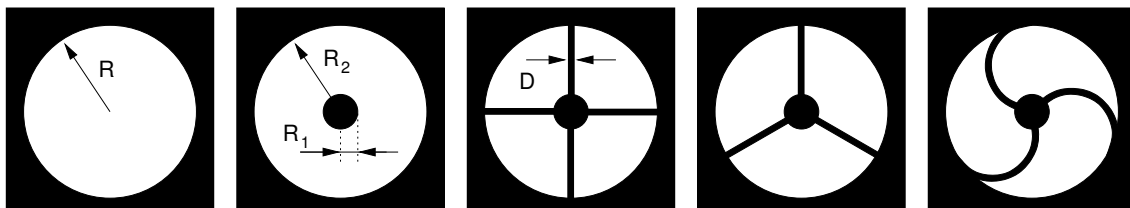
## 2. Difrakční jevy v teleskopu

Pomocí diskrétní Fourierovy transformace nalezněte zdánlivý obraz bodového zdroje pozorovaný dalekohledem. Předpokládáme, že dalekohled je osvětlen rovinou monochromatickou vlnou ze vzdáleného zdroje postupující ve směru osy  $z$  totožné s osou dalekohledu. Popíšeme-li propustnost vstupní části tubusu dalekohledu funkci  $T(x, y)$ , získáme difrakční obrazec Fourierovou transformací

$$I = \left| \iint T(x, y) e^{-i(k_x x + k_y y)} dx dy \right|^2,$$

kde  $k_{x,y}$  jsou složky vlnového vektoru difraktovaných fotonů. Zdánlivý obraz nejsnadněji zachytíme jako intenzitu závislou na odchylkách  $\phi_{x,y}$  od osy  $z$ . Porovnejte nejprve případ prostého kruhového otvoru se známým analytickým řešením. Poté přidejte kruhovou překážku představující sekundární zrcadlo a prozkoumejte vliv jejího poloměru. Realistický difrakční obrazec získáme zakomponováním čtyřramenného a trojramenného držáku sekundárního zrcadla, popřípadě trojramenného držáku s polokruhovými rameny.

Počítejte pro vlnovou délku  $\lambda = 500 \text{ nm}$  a průměr vstupního otvoru v desítkách centimetrů. Relevantní jednotkou pro odchylky  $\phi_{x,y}$  je pak úhlová vteřina.



### 3. Výpočet $\sqrt{2}$ s libovolnou přesností

Diskrétní Fourierovu transformaci lze překvapivě využít i k výpočtům s libovolnou přesností. Představíme-li si totiž dvě čísla v dekadickém zápisu

$$A = \sum_{n=-\infty}^{\infty} a_n 10^n, \quad B = \sum_{n=-\infty}^{\infty} b_n 10^n,$$

kde  $a_n, b_n \in \{0, 1, 2, \dots, 9\}$  jsou číslice zápisu, lze násobení těchto čísel chápat jako diskrétní konvoluci

$$AB = \sum_{n=-\infty}^{\infty} \left[ \sum_{m=-\infty}^{\infty} a_{n-m} b_m \right] 10^n,$$

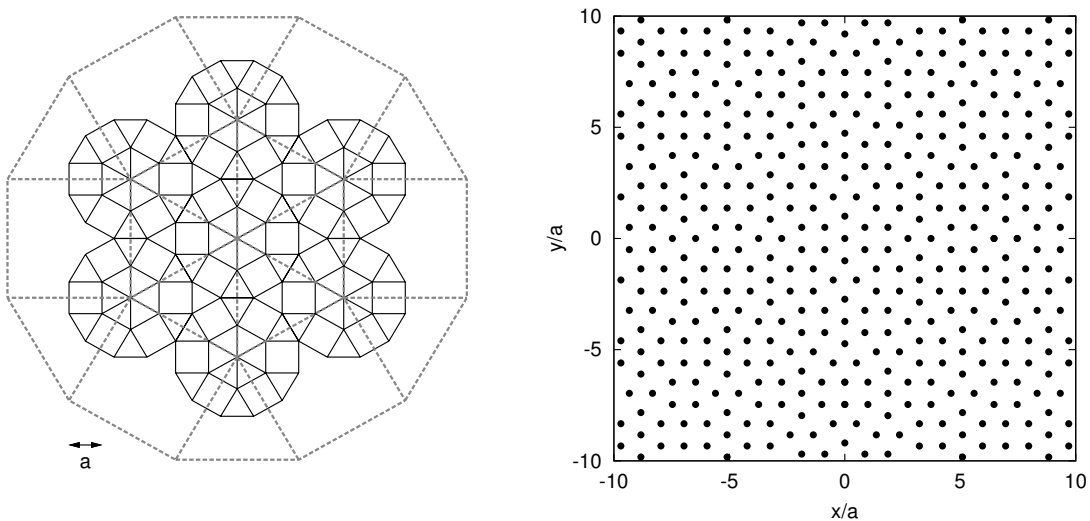
snadno vyčíslitelnou právě diskrétní Fourierovou transformací. Jako ukázkou možností tohoto postupu vypočtěte hodnotu  $\sqrt{2}$  na 4000 platných míst (jedna strana strojopisu). Využijte přitom iterační formuli

$$x_{n+1} = \frac{1}{2}(1 - x_n^2),$$

která konverguje k  $\sqrt{2} - 1$ . Vyšetřete rychlosť konvergence a porovnejte s analytickým odhadem.

### 4. Kvazikrystal

Kvazikrystaly objevené v roce 1982 izraelským fyzikem Danielem Šechtmanem jsou materiály s pravidelnou strukturou, která ovšem není periodická jako u obyčejných krystalů. Jejich objev donutil IUCr změnit oficiální definici krystalu na současnou podobu: Krytal je jakákoli pevná látka, jejíž difrakční diagram je bodový. Příklad kvazikrystalu a jeho konstrukce je na obrázku. Osadte kvazikrystal vhodnými atomy (např. gaussovskými píky) a provedte Fourierovu transformaci vzniklé hustoty. Totéž provedte pro hexagonální mřížku a výsledky srovnajte.



## 5. Thomsonův problém

Britský fyzik J. J. Thomson, objevitel elektronu, zformuloval v kontextu svého pudinkového modelu atomu následující úlohu: Na povrchu koule s jednotkovým poloměrem je rozmístěno  $N$  stejných bodových nábojů, které se mohou po povrchu volně pohybovat. Úkolem je nalézt jejich rovnovážnou konfiguraci minimalizací elektrostatické energie vzájemného odpuzování. Řešte tento problém numericky s využitím metod globální optimalizace. Najděte všechny rovnovážné konfigurace pro malá  $N \leq 24$  a pokuste se získat i konfigurace pro větší  $N = 32$  a  $N = 72$ . Referenční hodnoty energie pro ověření správnosti minimalizace lze najít na Wikipedii - [https://en.wikipedia.org/wiki/Thomson\\_problem](https://en.wikipedia.org/wiki/Thomson_problem).

## 6. Frekvence srážek molekul plynu

Uvažujme o plynu molekul s koncentrací  $n$ , jejichž rychlosti mají Maxwellovo rozdělení. Za předpokladu, že srážky molekul v plynu můžeme popisovat jako srážky tuhých koulí s průměrem  $d$ , lze pro frekvenci srážek v jednotce objemu plynu odvodit výraz

$$Z = \frac{1}{2} n^2 \pi d^2 \iiint_{-\infty}^{+\infty} c(u, v, w, u', v', w') f(u, v, w) f(u', v', w') du dv dw du' dv' dw' .$$

kde  $c = \sqrt{(u-u')^2 + (v-v')^2 + (w-w')^2}$  je velikost relativní rychlosti a

$$f(u, v, w) = \left( \frac{m}{2\pi k_B T} \right)^{\frac{3}{2}} \exp \left[ -\frac{m(u^2 + v^2 + w^2)}{2k_B T} \right] .$$

Metodou Monte-Carlo vypočtěte bezrozměrnou konstantu

$$\frac{Z}{n^2 \pi d^2 c_0} ,$$

v níž  $c_0 = \sqrt{3k_B T/m}$  značí střední kvadratickou rychlosť molekul plynu, a porovnejte svůj výsledek získaný s různým počtem vyčíslení integrantu s přesnou hodnotou  $2/\sqrt{3\pi}$ . Při výpočtu je výhodné převést integrál do bezrozměrných veličin  $\tilde{u} = u \sqrt{m/k_B T}$  atd.